

# Mirror verse

**Table des matières**

Introduction.....	3
Création du programme.....	4
Stratégie générale.....	4
Organisation du travail.....	5
Organisation temporelle.....	5
Répartition des tâches.....	6
Outils utilisés.....	7
Le Langage Rust :.....	7
Formes implémentées :.....	9
Plan.....	9
Intersection avec le rayon :.....	9
Plans Tangents :.....	10
(Hyper)Sphère.....	10
Intersection avec le rayon :.....	10
Plans tangents:.....	11
Parabole (2D uniquement).....	11
Fonctionnalités supplémentaires.....	12
Génération aléatoire.....	12
Analyse de trajectoire.....	12
Conclusion.....	12

## Introduction

Ce projet fait suite à la demande d'un étudiant, Quentin COURDEROT, en troisième année en spécialité informatique à Polytech. Il a demandé à son enseignant Jérôme Bastien de l'aider à écrire un algorithme pour déterminer la trajectoire d'un rayon lumineux lorsque celui-ci vient frapper un miroir plan fini.

L'objectif de ce projet est donc d'étudier le comportement d'un rayon lumineux lorsqu'il rentre en collision avec des miroirs. Il y a alors deux comportements possibles : le rayon peut être piégé dans le nid de miroirs et se réfléchir à l'infini, ou il peut parvenir à sortir du nid de miroirs. Sa trajectoire, quant à elle, peut suivre un motif ou non.

Dans le cadre de ce projet, nous développerons un outil permettant de simuler et de visualiser le comportement des rayons lumineux lorsqu'ils rencontrent des miroirs. La simulation devra autant que possible être juste physiquement, c'est-à-dire qu'elle devra coller au maximum à la réalité. Elle s'appuiera sur la seconde loi de Snell-Descartes (réflexion) et devra fonctionner au minimum en deux dimensions et avec des miroirs plans.

La simulation pourra par la suite être enrichie, en considérant, par exemple, plus de dimensions ou en intégrant une plus grande variété de miroirs.

## Création du programme

### Stratégie générale

Pour répondre à cette problématique de simulation de réflexion du rayon lumineux sur des miroirs, nous nous sommes tout d'abord appuyés sur la loi de Snell-Descartes sur la réflexion. Nous avons cependant réadapté sa forme « classique » utilisant des angles pour utiliser une forme fondée sur des symétries orthogonales dans un espace euclidien.

Cela nous a permis de rédiger le code de manière générique pour toute dimension afin de simplifier le passage de 2D à 3D.

Ainsi, notre programme demandera, à chaque miroir, les plans tangents à chaque point d'intersection avec le rayon lumineux (une demi-droite). Ensuite, il fera avancer le rayon jusqu'au point d'intersection avec le plan le plus proche.

Enfin, il appliquera la symétrie orthogonale du vecteur de direction du rayon par rapport à l'espace directeur ce plan, calculant ainsi la nouvelle position et la nouvelle direction du rayon. Ce processus se répète jusqu'à qu'il n'y ait plus de points d'intersection entre le rayon et un miroir de la simulation.

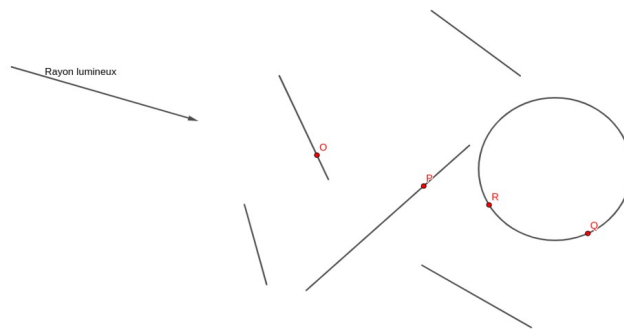


Figure 1: Schéma du calcul des intersections avec un rayon

# Organisation du travail

## Organisation temporelle

Nous avons choisi, pour notre organisation en termes de temps, d'adopter un cycle AGILE.

Comme nous travaillons sur ce projet sur notre temps libre, nos sprints (un cycle) était d'une durée de 18 jours.

Nous commençons par travailler pendant sept jours en parallèle chacun respectivement sur l'affichage, l'architecture de l'interface qui définit les miroirs, et enfin l'exécution de la simulation. Ensuite, nous prenons 7 autres jours pour relier toutes ces parties ensemble afin d'avoir un programme fonctionnant de manière cohérente. Nous finissons par 4 jours pour réaliser des tests unitaires et où d'intégration dans le but de s'assurer que nous ne régresserons pas à l'avenir.

Cependant, cette organisation, c'est vue remise en question à la moitié du projet quand nous nous sommes rendu compte que l'architecture de code que nous avons choisie n'était pas optimale. C'est pourquoi nous avons décidé de mettre en pause le développement pendant 1 semaine afin de réaliser un « refactor » (réorganisation/refonte du code).



Figure 2: Diagramme de Gantt pour V1

C'est lors de cette réorganisation que nous avons choisi de séparer le code en 4 portions distinctes.

- Un programme qui lance une simulation à partir de sa représentation dans un format JSON, qu'on récupère dans un fichier dont le chemin est indiqué par l'utilisateur en paramètre.
- Un second programme qui génère une simulation aléatoire (le nombre de miroirs, le type, et les paramètres de chaque miroir sont générés aléatoirement) pour ensuite la représenter en format JSON, et enregistrer cette représentation dans un fichier dont le chemin est indiqué par l'utilisateur en paramètre.
- Le moteur principal de calcul, de simulation et de création de miroirs, sous la forme d'une librairie, qu'utilisent les deux programmes cités ci-dessus.

- Enfin, un programme, qui relie les trois parties précédentes, par le biais d'une interface graphique, permettant de gérer, générer (aléatoirement) et lancer des simulations, sans avoir à utiliser la ligne de commandes.

Cette réorganisation du code, bien que nous aillant, fait temporairement ralentir dans notre développement, dans le but de pouvoir intégrer plus efficacement et simplement de nouveaux miroirs, ou de nouveaux outils dans la simulation, par exemple, un outil qui détecte les boucles (infinies) effectuées dans le trajet du rayon lumineux. Cela a, de plus, grandement simplifié la création de l'interface graphique globale.

Cependant, le but premier était que, dorénavant, le code peut être maintenu et mis à jour sur une longue période, même une fois que nous ne travaillerons plus sur celui-ci. En effet, comme nous l'avons rendu disponible en open-source sur la plateforme [GitHub](https://github.com), chacun peut le prendre, le modifier et s'en servir comme il le souhaite.

## Répartition des tâches

Pour ce projet, nous avons choisi de répartir les tâches de la manière suivante :

- Tout d'abord, Eymeric s'est chargé de l'implémentation des miroirs et de l'interface utilisateur (UI), ainsi que des tests unitaires. Il a choisi ces tâches, car elles ne demandaient pas de connaissance approfondie en Rust. En effet, celui-ci a découvert/appris le langage lors de ce projet. Il a également choisi de se charger de l'interface utilisateur, comme celle-ci est développée en Flutter, un outil qu'il maîtrise fortement, parce qu'utilisé dans plusieurs projets personnels.
- Ensuite, Guillaume a pris en charge le rendu graphique et l'affichage des simulations. Étant déjà familier avec le rendu numérique en 3D grâce à ses expériences antérieures sur d'autres projets personnels, il a pu créer des rendus visuels de qualité, donnant ainsi une représentation réaliste et claire des miroirs dans l'environnement virtuel de l'application.
- Quant à Mohammad, il s'est concentré sur l'architecture du code, les algorithmes de réflexion, la sauvegarde et le chargement des simulations dans des fichiers, et la génération aléatoire, et une partie de l'implémentation de certains miroirs. Sa maîtrise avancée du langage Rust lui a permis de diriger efficacement l'architecture du code, tandis que ses connaissances en mathématiques ont été mises à profit pour développer des algorithmes de réflexions précis et performants.

Cette répartition des tâches a été choisie dans le but de capitaliser le plus possible sur nos compétences individuelles pour assurer le succès du projet dans le temps imparti.

## Outils utilisés

### Le Langage Rust :

Langage Rust est un langage libre, connu pour sa performance, sa fiabilité, et son ergonomie, mais également sa difficulté, en effet, une de ses particularités est que c'est un langage de programmation système (comme C/C++) mais qui ne permet pas l'écriture de programmes contenant des erreurs de sécurité de mémoire (accès à de la mémoire libérée auparavant/invalidé, tentative de libérer de la mémoire déjà libérée, erreurs de typage, et bien plus... ), ceci par un ensemble de règles supplémentaires qu'applique le compilateur sur le code écrit. Ainsi, c'est un langage qui demande plus d'efforts au programmeur, un prix à payer pour la garantie supplémentaire de « si ça compile, ça marche » (hors erreurs de logique, algorithmique, implémentation, etc). On se réjouit donc de toute la performance et la puissance d'un langage de programmation système, sans se soucier de la catégorie de bugs (particulièrement difficiles à déboguer) qu'on y retrouve. De plus, malgré le fait d'être relativement jeune (la première version stable de Rust est sortie en 2015!), l'écosystème de bibliothèques et la bibliothèque standard du langage sont très riches et grandissent de jour en jour, nous permettant ainsi, de se concentrer plus sur les choses importantes, plus spécifiques à notre projet. Il nous fallait un langage performant (pour effectuer un grand nombre de calculs en temps réel) mais agréable à utiliser. De plus, un membre sur 3 connaissait déjà extensivement le langage, et les deux autres souhaitaient renforcer leur savoir-faire dans ce langage à travers un projet intéressant. C'était donc le candidat parfait !

Une autre particularité qu'on y retrouve, c'est l'existence de types « somme ». Dans la majorité des langages multi-paradigme, il y a souvent une manière de créer des types de données qui contiennent plusieurs autres types de données, des types « produit » : si A et B sont deux types de données, le type  $A \times B$ , se comporte comme le produit cartésien classique sur les ensembles. On retrouve cette fonctionnalité le plus souvent sous la forme de *structures* ou *classes*, e. g. une structure qui contient un entier et un flottant. Cependant, on retrouve rarement une manière de définir un type qui se comporte, comme  $A \cup B$ , e. g. un type de données qui contient soit un entier, soit un flottant (donc plus précisément  $A \Delta B$ ), on retrouve cette fonctionnalité sous la forme de type « somme » dans certains langages, peu utilisés dans l'industrie, à dominante de paradigme fonctionnel, comme Haskell, Scala, et

ML. On retrouve cette fonctionnalité en Rust, et elle a été particulièrement utile dans notre projet :

Un hyperplan affine représenté par un point  
 .« centre », puis soit un vecteur normal, soit une base  
 .Variante « Plan » : contient une base ←  
 Variante « vecteur normal » : contient un vecteur ←  
 .normal

```
pub enum Tangent<const D: usize> {
    Plane(Plane<D>),
    Normal {
        origin: SVector<f32, D>,
        normal: Unit<SVector<f32, D>>,
    },
}
```

Ce qui nous permet d'écrire du code comme ceci :

```
pub fn orthogonal_symmetry(&self, v: SVector<f32, D>) -> SVector<f32, D> {
    match self {
        Tangent::Plane(plane) => 2.0 * plane.orthogonal_projection(v) - v,
        Tangent::Normal { n, .. } => v - 2.0 * v.dot(n) * n,
    }
}
```

Cette fonction effectue la symétrie orthogonale de  $v$  par rapport à l'hyperplan directeur de *self* (qui est de type *Tangent*). Ici, on distingue les deux cas possibles de manières de le représenter l'hyperplan directeur: Si c'est une base on effectue la symétrie en utilisant la formule  $2p - Id$ . S'il contient un vecteur normal, on utilise la formule  $Id - 2p$ .

## Le format JSON:

Une autre problématique qu'on a rencontrée était la question de la sauvegarde et la réutilisation des simulations, Il nous fallait un format de fichiers qui soit, déjà existant et connu, pour ne pas avoir à l'implémenter nous-même, et qui soit lisible par un être humain, pour ne pas avoir à créer un programme dédié à créer et sauvegarder des simulations. Le format JSON était le candidat parfait! Omniprésent dans le web, il fonctionne avec un système de cle/valeur on recherche, à travers des clés, des objets qui peuvent eux aussi contenir des paires de clés/valeurs, etc... De nombreuses bibliothèques, libres et pratiques d'utilisation, qui servent d'interface à ce format, sont à disposition pour le langage Rust. Voici un exemple de simulation représentée avec ce format (certains détails omis):



On declare les objets entre accolades ->  
 la valeur a la cle « rays » est une liste (crochets) ->  
 chaque element de la liste est un objet contenant -> {  
 deux cles : « origin », le point de depart du rayon, e  
 « direction », la direction de depart du rayon  
 on separe les differents elements d'une liste par de -> virgule

de meme pour separer differents elements d'un objet ->  
 la cle mirror contient un objet (dont le format depend ->  
 du type des miroirs en question

```
"rays": [
  {
    "origin": [ 0.0, 0.0, 0.0 ],
    "direction": [ 0.0, 1.0, 1.0 ]
  },
  { ...
  },
  { ...
  }
],
"mirror": { ...
}
```

## Formes implémentées :

Dans ce qui suit,  $E = \mathbb{R}^n$  qu'on munit de sa structure euclidienne canonique.

Le rayon lumineux, sera représenté par la demi-droite d'équation :

$P + tD$  Avec  $P, D \in E, \|D\| = 1$ , et  $t \in \mathbb{R}^{+}$

## Plan

Intuitivement, ils représentent une portion d'un hyperplan affine de  $E$ .

Soient  $C \in E$  et  $\{b_1, \dots, b_{n-1}\}$  une famille libre de  $n - 1$  vecteur.

Un point  $M$  appartient au miroir plan de centre  $C$  et de base  $B$  si et seulement si :

$$\exists (\mu_1, \dots, \mu_{n-1}) \in [-1; 1]^{n-1}, M = C + \sum_{i=1}^{n-1} \mu_i b_i$$

On remarque, ainsi, qu'en dimension 2 ce miroir a la forme d'un segment, en dimension 3 celle d'un parallélogramme, en dimension 4 celle d'un paralléloèdre, etc...

## Intersection avec le rayon :

En remplaçant donc  $V$  par l'équation du rayon :  $P + tD$ ,

$$\text{On a donc : } P - C = \sum_{i=1}^{n-1} \mu_i b_i - tD$$

Ali Mohammad, Calderon Guillaume, Dechelette Eymeric

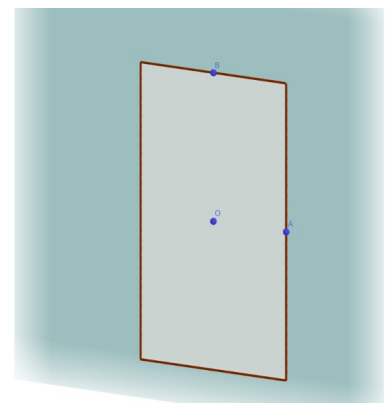


Figure 3: Schéma exemple de miroir plan

Paramètres (Exemple) :

Centre : [0.0,0.0]

Base : [

[1.0, 0.0, 0.0],

[0.0, 0.0, 1.0]

]

En considérant  $A$  la matrice de la famille  $(-D, b_1, \dots, b_{n-1})$  (dans la base canonique), l'équation devient donc :

$$P - C = A \begin{bmatrix} t \\ b_1 \\ \vdots \\ b_{n-1} \end{bmatrix}$$

Ainsi,  $t$  est la première coordonnée du vecteur  $A^{-1}(P - C)$ . On remarque  $A^{-1}$  n'existe pas si et seulement si le rayon est parallèle au plan (et donc que  $D \in \text{Vect}\{b_1, \dots, b_{n-1}\}$ )

### Plans Tangents :

Le miroir en question étant plan, son plan tangent, en tout ses points, est... lui-même.

### (Hyper)Sphère

Soient  $C \in E$ , et  $r \in \mathbb{R}$ .

Soit  $f_{C,r} \in \mathbb{R}^E$ ,  $f_{C,r}(V) = \|V - C\|^2 - r^2$

### Intersection avec le rayon :

Un vecteur  $V$  appartient à l'(hyper)sphère de centre  $C$  et de rayon  $r$  si et seulement si:

$$\|V - C\|^2 = r^2, \text{ C'est-à-dire } f_{C,r}(V) = 0$$

En remplaçant donc  $V$  par l'équation du rayon :  $P + tD$ , l'équation ci-dessus devient une équation polynomiale (en  $t$ ) de degré 2, qu'on peut facilement résoudre par la méthode du discriminant.

## Plans tangents:

On considère maintenant que  $V$  appartient à la sphère

Le vecteur  $\nabla f_{C,r}(V) = 2(V - C)$

Est orthogonal à  $T$ , plan tangent à  $f_{C,r}$  en  $V$ .

Ainsi, le vecteur  $N = \frac{V - C}{\|V - C\|}$  est un vecteur normal au plan  $T$

## Parabole (2D uniquement)

Ceux-ci sont définis par une ligne directrice, un point focal et une ligne limite. La ligne limite sert à « couper » la parabole afin qu'elle ne se prolonge pas à l'infini.

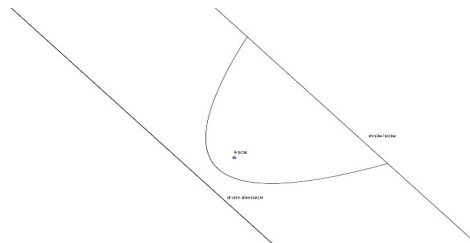


Figure 4: Schéma exemple de miroir parabolique

Nous avons implémenté le calcul d'intersection en deux dimensions en calculant la distance entre le point du rayon et la parabole. Nous avons ensuite implémenté l'algorithme de Newton-Raphson afin d'approcher la parabole. Par sécurité, nous finissons par vérifier que nous avons bien trouvé un point qui appartient à la parabole avec la distance entre le point et le focus, et la distance entre le point et la directrice.

Cependant, cette méthode n'a été réalisée qu'en 2D et n'a pas réellement pu être testée par manque de temps.

De plus, l'affichage des paraboles, c'est révélé plus complexe que prévu et n'a pas pu être fini à temps, c'est pourquoi elles n'ont pas été activées dans le programme final.

## **Fonctionnalités supplémentaires**

### **Génération aléatoire**

Nous avons également intégré un système de génération d'ensemble de miroirs aléatoires.

Cela nous permet donc facilement de préciser le nombre de miroirs plan et sphérique que l'on souhaite et aléatoirement les miroirs seront générés.

### **Analyse de trajectoire**

Ces fonctionnalités étant des fonctionnalités que nous n'avions prévues qu'en fin de projet, nous n'avons eu que très peu de temps pour les implémenter.

C'est pourquoi nous n'avons implémenté que la détection de boucle.

Ainsi, si le rayon repasse au même endroit, notre programme le détecte automatiquement et arrête la simulation, car nous savons que les prochaines réflexions seront les mêmes que les précédentes.

Cependant, avec plus de temps, nous aurions pu imaginer nombre d'autres possibilités d'analyse.

## **Conclusion**

Nous sommes satisfaits des résultats obtenus tout en maintenant un très haut niveau d'exigence en termes de qualité de code. Notre outil, bien que déjà fonctionnel et puissant, pourrait bénéficier d'améliorations supplémentaires, notamment dans sa convivialité d'utilisation et dans la gestion de plus de types de miroirs.

Enfin, une intégration avec d'autres logiciels ou plateformes de simulation pourrait élargir les possibilités d'utilisation de notre outil et favoriser la collaboration entre différentes équipes de recherche.

En somme, notre projet ouvre la voie à de nombreuses explorations dans le domaine de l'optique et de la simulation de phénomènes physiques, et il pourra certainement continuer à être développé dans les années à venir.

**Index des figures**

Figure 1: Schéma du calcul des intersections avec un rayon.....	4
Figure 2: Diagramme de Gantt pour V1.....	5
Figure 3: Schéma exemple de miroir plan.....	8
Figure 4: Schéma exemple de miroir parabolique.....	10

**Bibliographie**